

文章编号: 0258-7025(2009)11-2878-04

高位钾分子态之间的碰撞转移

吴红萍 吕磊 刘伟霞 戴康 沈异凡

(新疆大学物理科学与技术学院, 新疆 乌鲁木齐 830046)

摘要 脉冲激光 710 nm 线双光子激发 K₂ 基态到高位 ¹Λ_g 态, 研究了 K₂ (¹Λ_g) + K 碰撞转移过程。K 密度由光学吸收法测量。记录不同 K 密度下 ¹Λ_g 态发射的时间分辨荧光强度, 得到 ¹Λ_g 的有效寿命, 从描绘出的有效寿命的倒数与 K 密度关系直线的斜率得出 ¹Λ_g 态总的碰撞猝灭截面为 $(2.5 \pm 0.3) \times 10^{-14} \text{ cm}^2$, 从截距得到其辐射寿命为 $(20 \pm 2) \text{ ns}$ 。测量了 K₂ 的 ³Λ_g → ¹Σ_u⁺ 在不同 K 密度下的时间分辨和时间积分荧光强度, 得到了 K₂ (¹Λ_g) + K → K₂ (³Λ_g) + K 碰撞转移截面为 $(1.1 \pm 0.3) \times 10^{-14} \text{ cm}^2$ 。

关键词 光谱学; 激光光谱; 碰撞能量转移; 时间分辨荧光强度; 截面; K₂

中图分类号 O562.5; O562.4 文献标识码 A doi: 10.3788/CJL20093611.2878

Collisional Transfer between High-Lying States of K₂

Wu Hongping Lü Lei Liu Weixia Dai Kang Shen Yifan

(School of Physics Science and Technology, Xinjiang University, Urumqi, Xinjiang 830046, China)

Abstract Potassium vapor was irradiated in a glass fluorescence cell with pulses of radiation from an optical parametric oscillator (OPO) laser, populating K₂ (¹Λ_g) state by two-photon absorption. Energy transfer in K₂ (¹Λ_g) + K collision is studied by using molecular fluorescence. The K number density was determined by the optical absorption measurement. The decay signal of time-resolved fluorescence from ¹Λ_g → ¹Σ_u⁺ transition was monitored. The effective lifetimes of the ¹Λ_g state can be resolved. The plot of reciprocal of effective lifetimes of the ¹Λ_g state against K densities yielded the slope that indicated the total cross section for deactivation and the intercept that provided the radiative lifetime of the state. The radiative lifetime $(20 \pm 2) \text{ ns}$ is obtained. The cross section for deactivation of the K₂ (¹Λ_g) molecules by collisions with K is $(2.5 \pm 0.3) \times 10^{-14} \text{ cm}^2$. At the different K densities, the time resolved and the time-integrated intensities of the resulting K₂ ³Λ_g → ¹Σ_u⁺ line were measured. The absolute values for K₂ (¹Λ_g) + K → K₂ (³Λ_g) + K collisional transfer cross section has been obtained. The cross section is $(1.1 \pm 0.3) \times 10^{-14} \text{ cm}^2$.

Key words spectroscopy; laser spectroscopy; collisional energy transfer; time-resolved fluorescence; cross section; K₂

1 引言

激光激发碱蒸气, 产生原子分子激发态, 它们与基态原子分子碰撞, 发生能量转移, 对这种非弹性、非绝热碰撞动力学的研究在理论上具有重要意义^[1,2], 在研制新型激光器及许多现代光学技术中起很大作用^[3,4], 也是产生许多物理现象和化学反应的关键原因^[5~9]。

在碱蒸气中, 激光激发碱分子的基态(单态或三态), 通过双光子吸收容易得到碱分子的高位态(因为碱分子能级十分密集, 失谐量小的中间能级总是存在的)。如果该高位态是预解离的, 则通过预解离得到高位态原子, 如果该高位态是束缚的, 则通过碰撞转移得到分子和原子的高位态。

本文用脉冲 710 nm 线激光双光子激发 K₂ 的

收稿日期: 2008-12-08; 收到修改稿日期: 2009-04-01

基金项目: 国家自然科学基金(10664003)资助项目。

作者简介: 吴红萍(1979—), 女, 硕士研究生, 主要从事激光光谱方面的研究。E-mail: zdj_qishi@126.com

导师简介: 沈异凡(1944—), 男, 教授, 博士生导师, 主要从事原子分子和激光光谱学等方面的研究。

E-mail: shenyifan01@xju.edu.cn

$^1\Sigma_g^+(V=0)$ 态至 $^1\Lambda_g(V=1)$ 高位态, $^1\Lambda_g$ 表示 $8^1\Sigma_g^+$ 或 $4^1\Pi_g$ 态。它们有几乎相等的电子态能量 $T_e^{[10]}$ 。 $^1\Lambda_g$ 态与 K 碰撞, 产生 K₂ 高位态 $^3\Lambda_g$, 其中 $^3\Lambda_g$ 代表 $6^3\Sigma_g^+$, $4^3\Pi_g$ 或 $5^3\Pi_g$ 等, 它们的电子态能量十分靠近, 分别为 28036 cm^{-1} , 28048 cm^{-1} , 28052 cm^{-1} ^[10], 且向同一下能级 $^1\Sigma_u^+$ 跃迁, 产生的光谱带互相重叠。测量 $^1\Lambda_g \rightarrow ^1\Sigma_u^+$ 及 $^3\Lambda_g \rightarrow ^1\Sigma_u^+$ 的辐射寿命和荧光强度, 可以得到 $^1\Lambda_g \rightarrow ^3\Lambda_g$ 的碰撞转移截面。

2 速率方程分析

在图 1 中, $^1\Lambda_g$, $^3\Lambda_g$ 态分别用 2, 1 表示, Q_{21} 为过程 $\text{K}_2(^1\Lambda_g) + \text{K} \rightarrow \text{K}_2(^3\Lambda_g) + \text{K}$ 表示的碰撞转移率, Q_2 , Q_1 为向其他态的碰撞猝灭率。 $n_1(t)$, $n_2(t)$ 为粒子数密度, 有速率方程

$$\frac{dn_2}{dt} = -\frac{n_2}{\tau_2} + Q_{21}n_1, \quad (1)$$

$$\frac{dn_1}{dt} = -\frac{n_1}{\tau_1} + Q_{21}n_2, \quad (2)$$

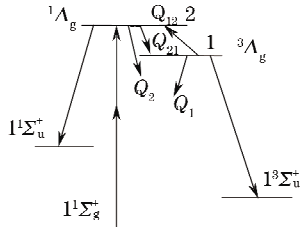


图 1 K₂ 能级的布居和去布居过程

Fig. 1 Processes involved in the population and depopulation of K₂ levels

其中 $1/\tau_2 = \Gamma_2 + Q_{21} + Q_2$, $1/\tau_1 = \Gamma_1 + Q_1 + Q_{12}$, Γ_1 , Γ_2 为辐射率。方程(1)中的 $Q_{12} \ll 1/\tau_2$ 可略去(见本文第 4 部分)。脉冲激光瞬时激发 K₂ 至 $^1\Lambda_g$ 态, 在初始条件 $n_2(0) = n$, $n_1(0) = 0$ 下解(1), (2)式得到

$$n_2(t) = n \exp(-t/\tau_2), \quad (3)$$

$$n_1(t) = \frac{Q_{21}n\tau_1\tau_2}{\tau_2 - \tau_1} [\exp(-t/\tau_2) - \exp(-t/\tau_1)], \quad (4)$$

(3) 式为纯指数函数, 在不同 K 密度下, 记录 $^1\Lambda_g \rightarrow ^1\Sigma_u^+$ 的时间分辨荧光强度, 得到不同的有效寿命 τ_2 , 由 Stern-Volmer 方程

$$\frac{1}{\tau_2} = \Gamma_2 + \sigma_2 Nv, \quad (5)$$

式中 $\sigma_2 = (Q_2 + Q_{21})/Nv$ 为 $^1\Lambda_g$ 态总的碰撞转移截面, $v = (8kT/\pi\mu)^{1/2}$ 为碰撞对粒子相对速率, μ 为折合质量, N 为基态 K 原子密度, (5) 式表明 $1/\tau_2$ 与 N 成线性关系, 由直线的斜率得到 σ_2 , 从该直线的截距得到 Γ_2 。

对(3)式积分得到 $^1\Lambda_g \rightarrow ^1\Sigma_u^+$ 的时间积分荧光强度

$$I_2/\epsilon_2 = \Gamma_2 h\nu_2 \int_0^\infty n_2(t) dt = \Gamma_2 h\nu_2 n\tau_2, \quad (6)$$

式中 ϵ 为探测系统光谱响应因子。K₂ 的 $^3\Lambda_g \rightarrow ^1\Sigma_u^+$ 的时间积分荧光强度为

$$I_1/\epsilon_1 = \Gamma_1 h\nu_1 \int_0^\infty n_1(t) dt = \Gamma_1 h\nu_1 Q_{21} n\tau_2 \tau_1 = \Gamma_1 h\nu_1 \sigma_{21} v N n (\Gamma_1 + \sigma_1 v N)^{-1} \tau_2, \quad (7)$$

由(6), (7)二式得到

$$\frac{I_2/\epsilon_2}{I_1/\epsilon_1} = \frac{\Gamma_2 h\nu_2}{\Gamma_1 h\nu_1} \left(\frac{\Gamma_1}{\sigma_{21} v N} + \frac{\sigma_1}{\sigma_{21}} \right), \quad (8)$$

式中的光强比与 $1/Nv$ 成线性关系, 由实验数据分别描绘出光强比随 $1/Nv$ 的变化, 由得到的直线斜率给出 σ_{21} , 由截距确定 σ_1 。

3 实验装置与测量方法

实验装置见图 2, 圆柱形石英玻璃样品池长 8 cm, 内直径为 2 cm, 高温烘烤, 以除去玻璃内部和表面的气体及杂质, 真空度达 10^{-4} Pa 后充入约百毫克的纯 K, 不充任何缓冲气体, 样品池置于可控温的加热炉中, 由电热器加热, 用热电偶测定池温, 温度控制在 280~330 °C 之间。K 原子密度由测量 KD₂ 线(766.5 nm)蓝翼对白光的吸收得到^[11]

$$N = 2.83 \times 10^{16} \Delta\lambda \sqrt{k}, \quad (9)$$

其 k 为离 D₂ 线中心 $\Delta\lambda$ 处的吸收系数。测量方法如下(其装置在图 2 中未画出), 钨带灯发出的白光由单色仪(分辨率 0.1 nm)分光, 得到 766.1 nm 线($\Delta\lambda = 0.4 \text{ nm}$), 经 F-P 标准具压窄线宽后通过 K 样品池, 光子计数器分别记录未加热和加热后的光强, 从而得到吸收系数 k , 由(9)式得到 K 密度。

光参量放大器 OPO (Rainbow/Nir-D/S 型, 10 mJ) 由 YAG 脉冲激光抽运, OPO 激光波长调至

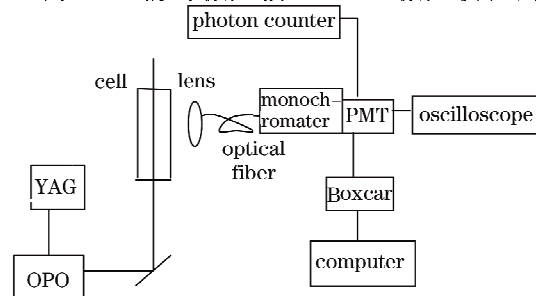


图 2 实验装置图

Fig. 2 Experimental setup

710 nm, 双光子激发 $K_2 [1^1\Sigma_g^+ (V' = 0)]$ 至 ${}^1\Lambda_g (V = 1)$ 高位态(见图 1), 在实验中探测到了 ${}^1\Lambda_g \rightarrow {}^1\Sigma_u^+$ (650~654 nm)发射带, 证实了双光子激发的存在, 因为如果是单光子 ${}^1\Sigma_g^+ (V' = 0) \rightarrow {}^1\Sigma_u^+$ 激发, 则由 ${}^1\Sigma_u^+$ 发射谱线的波长不会短于 710 nm。

在不同的池温下(即不同的 K 密度下)探测 ${}^1\Lambda_g \rightarrow {}^1\Sigma_u^+$ 感生荧光光谱中 650 nm 线的时间分辨荧光强度, 荧光用透镜收集, 经光纤由单色仪分光, 经光电倍增管(Acton PD471 型, 响应时间 2 ns), 进入 Boxcar 积分平均器(SR280 型), 门宽设为 2 ns, 将时间分辨荧光存储于计算机中。并由光子计数器记录其时间积分荧光强度, 其强度由多次测量求平均得到, 而杂散光及暗计数作为背景扣除。用一个标准钨带灯测量探测系统的光谱响应因子。

单色仪在 400~900 nm 波长范围内扫描, 发现在 480~510 nm 间有较强的荧光发射带, 它们是由 ${}^1\Lambda_g \rightarrow {}^3\Lambda_g$ 碰撞转移后由 ${}^3\Lambda_g \rightarrow {}^1\Sigma_u^+$ 发射引起的。Boxcar 积分平均器和光子计数器分别记录 484 nm 处的时间分辨和时间积分荧光强度。

4 结果与讨论

池温控制在 280~330 °C 之间, 用白光吸收法测得 K 基态原子密度在 $(0.5 \sim 5) \times 10^{16} \text{ cm}^{-3}$ 之间。脉冲激光 710 nm 线双光子激发 K_2 至 ${}^1\Lambda_g$ 态, 图 3 为 280 °C 时 ${}^1\Lambda_g \rightarrow {}^1\Sigma_u^+$ 感生荧光 650 nm 线的时间分辨强度, 它为一条指数衰减曲线, 其有效寿命为 19 ns。

在不同的 K 密度下测量 ${}^1\Lambda_g \rightarrow {}^1\Sigma_u^+$ 的有效寿命。由 Stern-Volmer 方程, 有效寿命的倒数与密度 N 成线性关系, 图 4 给出了相应的实验结果, 其 τ_2^{-1} 值为相应 K 密度 N 时多次测量时间分辨荧光强度指数衰减曲线的平均结果, 由该直线的斜率得到 ${}^1\Lambda_g$ 态总的碰撞猝灭截面为 $(2.5 \pm 0.3) \times 10^{-14} \text{ cm}^2$, 由

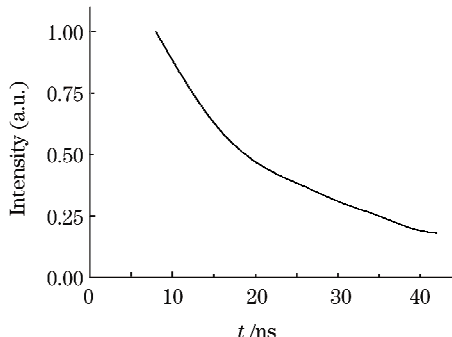


图 3 $K_2 [{}^1\Lambda_g \rightarrow {}^1\Sigma_u^+]$ 跃迁时间分辨荧光

Fig. 3 Time-resolved fluorescence for the K_2 in the ${}^1\Lambda_g \rightarrow {}^1\Sigma_u^+$ transition

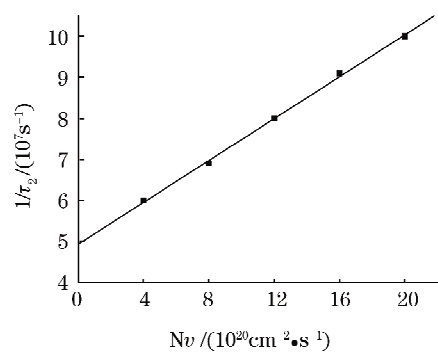


图 4 有效寿命倒数 $1/\tau_2$ 与 Nv 的关系

Fig. 4 Plot of the reciprocal of the effective lifetime τ_2 versus Nv

截距得到辐射寿命 $\tau_2^0 = 1/\Gamma_2 = (20 \pm 2) \text{ ns}$ 。

图 5 为 280 °C 时 $K_2 [{}^3\Lambda_g \rightarrow {}^3\Sigma_u^+]$ 跃迁 484 nm 线荧光的时间分辨荧光强度, 由(4)式, 它应是 2 个指数函数之差。利用由图 3 得到相同温度下的 $\tau_2 = 19 \text{ ns}$, 拟合图 5, 得到 $\tau_1 = (10.0 \pm 1.5) \text{ ns}$ 。改变池温, 用与前面相同的方法得到 $\sigma_1^{\text{rev}} = (2.5 \pm 0.5) \times 10^{-14} \text{ cm}^2$, $\tau_1^0 = 1/\Gamma = (16.0 \pm 3.2) \text{ ns}$, 见图 6。 σ_1^{rev} 表示用时间分辨荧光得到的 ${}^3\Lambda_g$ 态的总的碰撞猝灭截面。

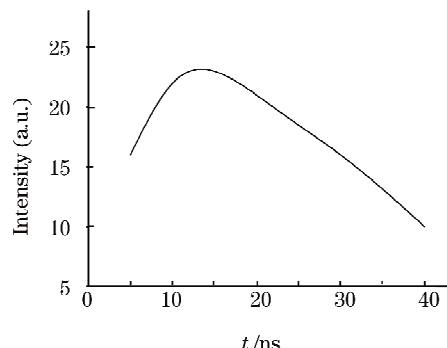


图 5 $K_2 [{}^3\Lambda_g \rightarrow {}^3\Sigma_u^+]$ 跃迁时间分辨光谱

Fig. 5 Time-resolved fluorescence for the K_2 in the ${}^3\Lambda_g \rightarrow {}^3\Sigma_u^+$ transition

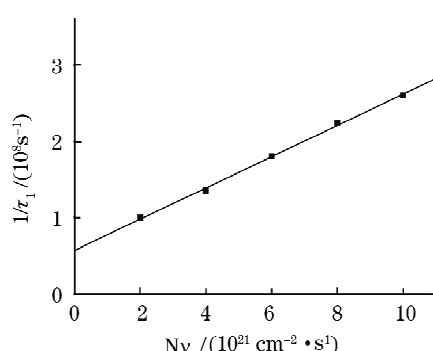


图 6 有效寿命倒数 $1/\tau_1$ 与 Nv 的关系

Fig. 6 Plot of the reciprocal of the effective lifetime τ_1 versus Nv

图7描绘出 $(I_2/\varepsilon_2)/(I_1/\varepsilon_1)$ 与K密度的关系。由(8)式,光强比与 $(Nv)^{-1}$ 成线性关系。结果也表明确成线性关系,由图中直线的斜率和截距得到 $\sigma_{21} = (1.1 \pm 0.3) \times 10^{-14} \text{ cm}^2$ 和 $\sigma_1^{\text{int}} = (2.1 \pm 0.7) \times 10^{-14} \text{ cm}^2$, σ_1^{int} 表示用时间积分强度得到的 ${}^3\Lambda_g$ 态的总的碰撞猝灭截面。

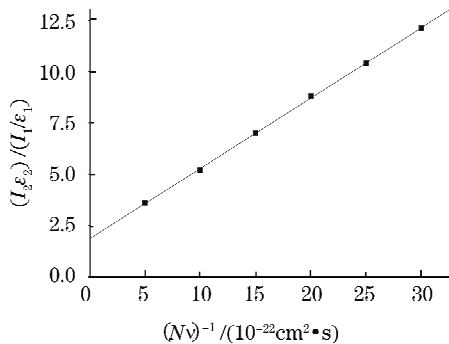


图7 光强比 $(I_2/\varepsilon_2)/(I_1/\varepsilon_1)$ 与 $(Nv)^{-1}$ 的关系

Fig. 7 Plot of the observed ratio $(I_2/\varepsilon_2)/(I_1/\varepsilon_1)$ versus $(Nv)^{-1}$

σ_{21} 和 σ_1 的误差由(8)式得到,光强比测量有8%的误差(误差为标准差,下同)。光谱响应因子误差为5%, Γ_1 与 Γ_2 误差由本文测得,各为20%和10%。基态原子密度测量的误差为8%,故 σ_{21} 的误差为26%,而 σ_1^{int} 的误差要大一些,它是由 σ_{21} 的误差外插到 $(Nv)^{-1} \rightarrow 0$ 得到的,为30%。从 σ_1^{rev} 和 σ_1^{int} 的实验结果可以看出,用2种方法得到的数值相符。说明实验方法的自洽性。文献[11]中利用了710~750 nm脉冲双光子吸收,得到 $K_2({}^2\Pi_g)$ 态的自然辐射寿命为 $(18 \pm 2) \text{ ns}$,而 ${}^2\Pi_g$ 态的总的碰撞截面为 $1.04 \times 10^{-14} \text{ cm}^2$,与本文得到的 $K_2({}^3\Lambda_g)$ 的结果在误差范围内基本相符。至于 ${}^1\Lambda_g \rightarrow {}^3\Lambda_g$ 转移截面作者未见有其他文献报道。

从 $(\sigma_{21}/\sigma_{12}) \sim \exp(\Delta E/kT)$,可由 σ_{21} 估算出 σ_{12} ,其中 ΔE 为 ${}^1\Lambda_g$ 与 ${}^3\Lambda_g$ 能级差约 120 cm^{-1} ,得到 $\sigma_{12} \approx 8 \times 10^{-15} \text{ cm}^2$,在本实验K密度条件下 $Q_{12} \ll \tau_2$ 成立,故(1)式中 Q_{12} 可略去。

在本实验中,还存在激发态 K_2 与基态 K_2 ,激发态 K_2 与激发态K原子以及激发态K原子之间的碰撞转移。事实上,当继续增加池温,即增加K原子密度时,发现图7中的直线发生弯曲,但在本实验温度范围内,直线关系是成立的,其他转移过程可略去。

5 结 论

利用双光子吸收,通过探测时间分辨与时间积分荧光强度,得到了 $K_2({}^1\Lambda_g) \rightarrow {}^3\Lambda_g$ 的碰撞转移截面为 $(1.1 \pm 0.3) \times 10^{-14} \text{ cm}^2$ 。本文的方法可利用到研究其他碱分子激发态与碱原子,分子的碰撞传能中。

参 考 文 献

- 1 K. Orlovsky, V. Grushersky, A. Ekers. Theoretical study of energy transfer in $Rb(7s) + Rb(5s)$ and $Rb(5D) + Rb(5s)$ collisions[J]. *Eur. Phys. J.*, 2000, D12: 133~146
- 2 C. Figl, R. Goldstein, J. Grosser. Nonadiabatic transitions in the exit channel of atom-molecule collisions: fine-structure branching in $Na + N_2$ [J]. *J. Chem. Phys.*, 2004, 121(22): 11068~11072
- 3 D. Pappas, N. C. Pixley, O. I. Matveev et al.. A cesium resonance fluorescence imaging monochromator [J]. *Opt. Commun.*, 2001, 191: 263~269
- 4 N. C. Pixley, T. L. Correll, D. Pappas et al., Moving object detection using a cesium resonance fluorescence monochromator [J]. *Opt. Commun.*, 2003, 219: 27~31
- 5 Chen Jie, Bai Zhen'ao, Zhao Yikun et al.. Measurement and evaluation of $Rb(5P_{3/2})$ level effective radiative rate in the vapor mixed Ar and N_2 [J]. *Chinese J. Lasers*, 2008, 35(6): 907~910
陈洁, 白振鳌, 赵亿坤等. $Rb + (Ar, N_2)$ 混合蒸气中 $5P_{3/2}$ 能级有效辐射率的计算与测量[J]. 中国激光, 2008, 35(6): 907~910
- 6 Q. Wang, Y. F. Shen, K. Dai. Rate coefficients measurement for the energy-pooling collision, $Cs(5D) + Cs(5D) \rightarrow Cs(6S) + Cs(nl = 9D, 11S, 7F)$ [J]. *Opt. Commun.*, 2008, 281: 2112~2118
- 7 Zhang Yan-wen, Wan Hongfei, Cui Xiuhua et al.. Excitation transfer in $Rb(5D-5S) + He, Ar, H_2$ collision[J]. *Chinese J. Lasers*, 2009, 36(8): 2009~2013
张岩文, 万鸿飞, 崔秀花等. $Rb(5D-5S)-He, Ar, H_2$ 的碰撞能量转移[J]. 中国激光, 2009, 36(8): 2009~2013
- 8 Jin Liu, Kang Dai, Shen Yifan. Collisional broadening of some $2'\Delta g \leftarrow B' \parallel u$ lines in Na_2 molecules by optical-optical double resonance spectroscopy[J]. *Chin. Opt. Lett.*, 2006, 4(7): 376~378
- 9 Yisan Shen, Kang Dai, Baoxia Mu et al.. Energy-pooling collisions in $Rb-Cs$ vapor mixture $Rb(5P_j) + Cs(6P_{3/2}) \rightarrow Rb(5S_{1/2}) + Cs(nlJ')$ [J]. *Chin. Opt. Lett.*, 2006, 4(10): 501~504
- 10 S. Magnier, Ph. Millie'. Potential curves for the ground and numerous highly excited electronic states of K_2 and NaK [J]. *Phys. Rev.*, 1996, 54(1): 204~218
- 11 Wang Gang, Jia Suotang. Accompany collisionan energy transfer in generating diffuse band of K_2 [J]. *Chinese J. At. Mol. Phys.*, 1995, 12(3): 299~304
王纲, 贾锁堂. 产生K分子扩散带辐射的碰撞传能研究[J]. 原子与分子物理学报, 1995, 12(3): 299~304